

## Оптимальный корреляционный приёмник

Логарифм апостериорной плотности вероятности параметра  $\lambda$   
в случае приёма полностью известного сигнала  
в смеси с нормальным белым шумом:

$$\ln w_{ps}(\lambda) = \ln C + q(\lambda) - \frac{E_c(\lambda)}{G_0} + \ln w_{pr}(\lambda)$$

$w_{ps}(\lambda)$  – апостериорная плотность вероятности параметра;

$w_{pr}(\lambda)$  – априорная плотность вероятности параметра;

$G_0$  – спектральная плотность белого шума;

$$q(\lambda) = \frac{2}{G_0} \int_0^T y(t) s_\lambda(t) dt \text{ – корреляционный интеграл;}$$

$$E_c(\lambda) = \int_0^T s_\lambda^2(t) dt \text{ – энергия сигнала}$$

Оптимальная оценка параметра по критерию максимума апостериорной вероятности:

$$\hat{\lambda} = \arg \max w_{ps}(\lambda) = \arg \max \ln w_{ps}(\lambda)$$

### ***Корреляционный приёмник полностью известного импульсного сигнала***

Логарифм апостериорной плотности вероятности задержки импульса (при равномерном априорном распределении):

$$\ln w_{ps}(\tau) = \ln C' + q(\tau)$$

$$q(\tau) = \frac{2}{G_0} \int_0^T y(t) s(t - \tau) dt$$

$$\hat{\tau} = \arg \max q(\tau)$$

Отношение сигнал-шум  
на выходе коррелятора:

$$\rho = \frac{q_{c \max}}{\sigma_{q_{\text{ш}}}} = \sqrt{\frac{2E_c}{G_0}}$$

### ***Корреляционный приёмник импульсного сигнала с неизвестной начальной фазой***

Логарифм апостериорной плотности вероятности задержки импульса (при равномерном априорном распределении):

$$\ln w_{ps}(\tau) = \ln C' + \ln I_0 \left( \frac{2}{G_0} Z(\tau) \right)$$

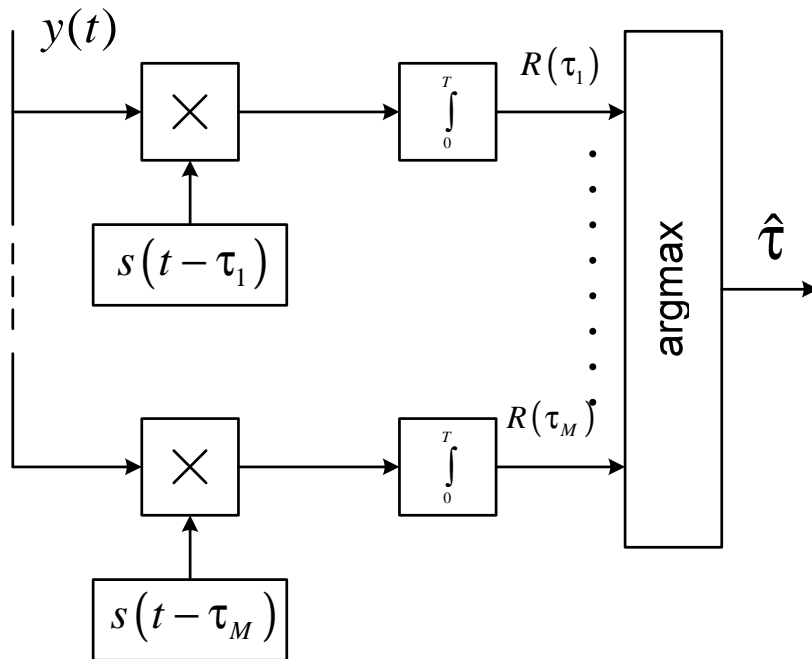
$$Z(\tau) = \sqrt{Z^{c^2}(\tau) + Z^{s^2}(\tau)}$$

$$Z^c(\tau) = \int_0^T y(t) U_c(t - \tau) \cos \omega_0 t dt$$

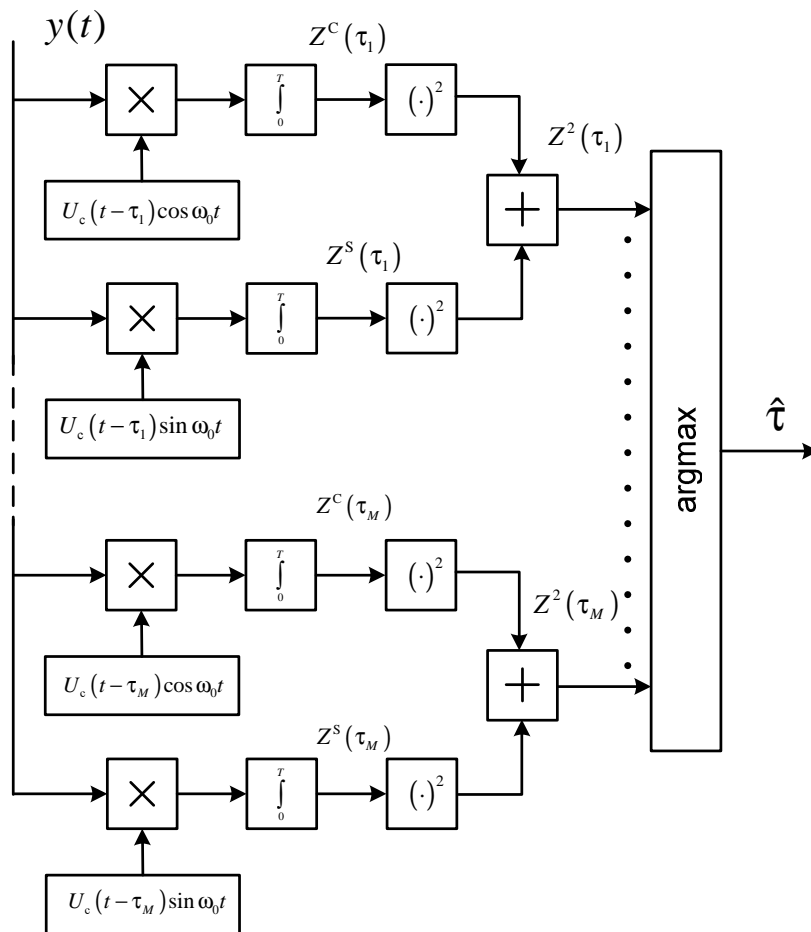
$$Z^s(\tau) = \int_0^T y(t) U_c(t - \tau) \sin \omega_0 t dt$$

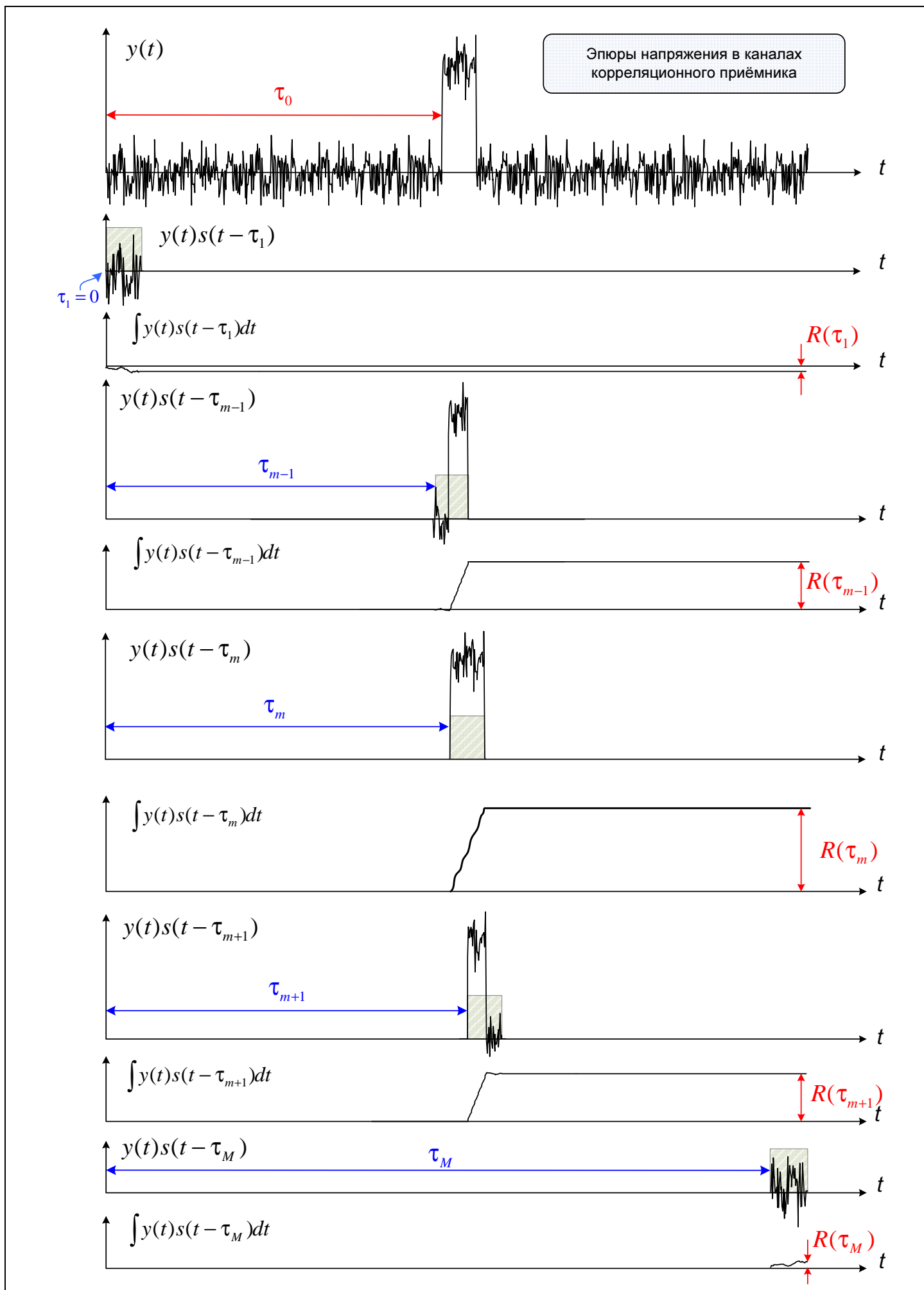
$I_0(x)$  – модифицированная функция Бесселя  
(функция Бесселя мнимого аргумента) 0-го порядка

Корреляционный приёмник для измерения задержки  
известного импульсного сигнала



Корреляционный приёмник для измерения задержки  
импульсного сигнала с неизвестной фазой





**Оптимальный обнаружитель полностью известного сигнала**

$$\text{Условие обнаружения: } q = \frac{2}{G_0} \int_0^T y(t)s(t)dt > h$$

$$\text{Оптимальное значение порога порогового устройства (ПУ): } h = \ln \frac{p_{pr}(0)}{p_{pr}(1)} + \frac{E_c}{G_0}$$

$$\text{Распределение вероятностей напряжения на входе ПУ: } w(q) = \frac{1}{\sigma_q \sqrt{2\pi}} e^{-\frac{(q-\bar{q})^2}{2\sigma_q^2}},$$

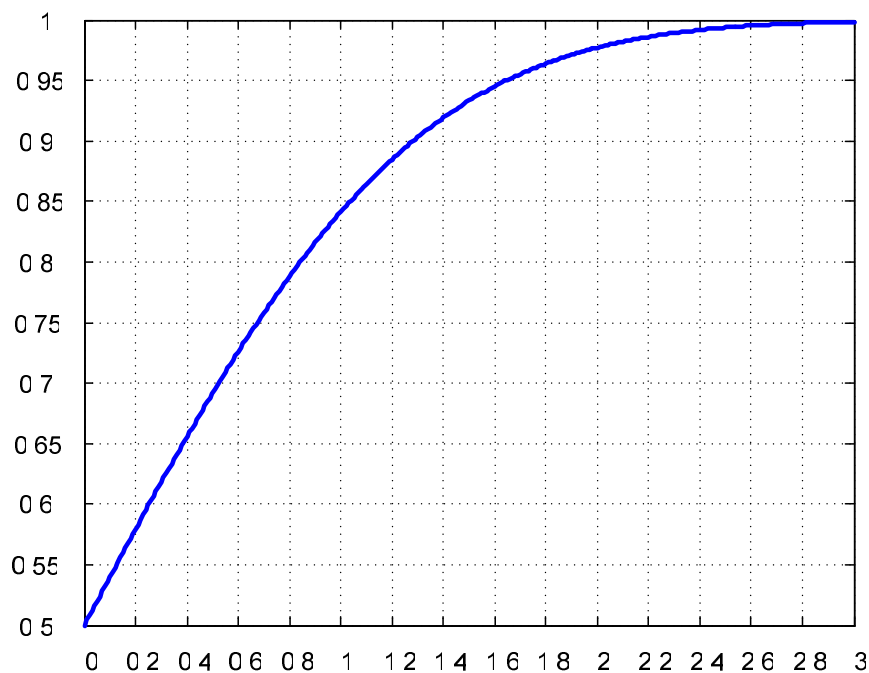
$$\bar{q} = q_c = \frac{2E_c}{G_0} - \text{математическое ожидание,} \quad \sigma_q = \sigma_{q_{\text{ш}}} = \sqrt{\frac{2E_c}{G_0}} - \text{СКО}$$

$$\text{Вероятность обнаружения: } p_{\text{обн}} = 1 - \Phi\left(\frac{h - \bar{q}}{\sigma_q}\right)$$

$$\text{Вероятность ложной тревоги: } p_{\text{лт}} = 1 - \Phi\left(\frac{h}{\sigma_q}\right)$$

$$\text{Интеграл вероятностей: } \Phi(x) = \frac{1}{\sqrt{2\pi}} \int_{-\infty}^x e^{-\frac{z^2}{2}} dz$$

$$\Phi(-x) = 1 - \Phi(x)$$



**Оптимальный обнаружитель сигнала с неизвестной начальной фазой**

$$\text{Условие обнаружения: } q = \ln I_0 \left( \frac{2}{G_0} Z \right) > h$$

$$\text{Оптимальное значение порога ПУ: } h = \ln \frac{p_{pr}(0)}{p_{pr}(1)} + \frac{E_c}{G_0}$$

$$Z = \sqrt{Z^c{}^2 + Z^s{}^2}$$

$$Z^c = \int_0^T y(t) U_c(t) \cos(\omega_0 t + \varphi_c(t)) dt$$

$$Z^s = \int_0^T y(t) U_c(t) \sin(\omega_0 t + \varphi_c(t)) dt$$

**Оптимальный приёмник для различения двух полностью известных сигналов**

$$\Delta q = q_1 - q_2 \begin{cases} > h & \Rightarrow \text{сигнал } s_1(t) \\ < h & \Rightarrow \text{сигнал } s_2(t) \end{cases}$$

$$q_1 = \frac{2}{G_0} \int_0^T y(t) s_1(t) dt, \quad q_2 = \frac{2}{G_0} \int_0^T y(t) s_2(t) dt$$

$$\text{Оптимальное значение порога ПУ: } h = \ln \frac{p_{pr2}}{p_{pr1}} + \frac{E_{c1} - E_{c2}}{G_0}$$

Вероятность ошибки различения двух равновероятных сигналов с одинаковой энергией:

$$p_{\text{ош}} = 1 - \Phi \left( \sqrt{\frac{E_c}{G_0}} (1 - r_{12}) \right),$$

где  $r_{12} = \frac{1}{E_c} \int_0^T s_1(t) s_2(t) dt$  – коэффициент взаимной корреляции

## Оптимальная и квазиоптимальная фильтрация

### Согласованный фильтр (СФ)

Частотная характеристика СФ:

$$\dot{K}_c(j\omega) = cS^*(j\omega)e^{-j\omega t_0}$$

Импульсная характеристика СФ:

$$g_c(t) = c s(t_0 - t)$$

Отклик СФ на сигнал:

$$s_{\text{вых}}(t) = \int_{-\infty}^{\infty} c s(t_0 - \tau) s(t - \tau) d\tau = \\ = c R_c(t - t_0)$$

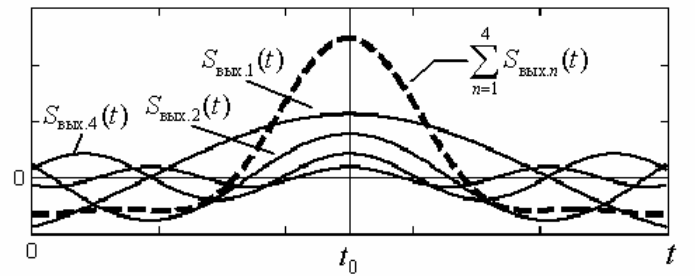
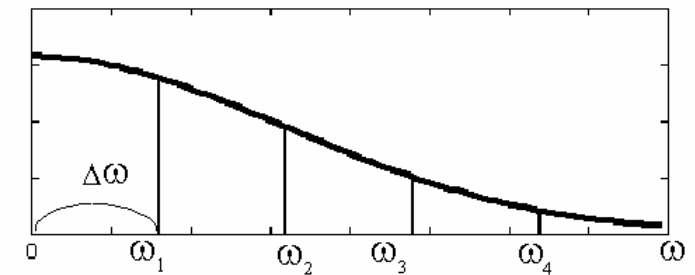
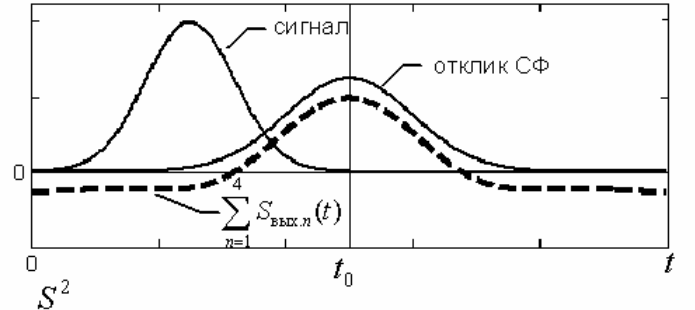
Максимальное отношение сигнал-шум на выходе СФ:

$$\rho_{\text{СФ}} = \frac{s_{\text{вых.мах}}}{\sigma_{\text{ш.вых}}} = \sqrt{\frac{2E_c}{G_0}}$$

Частотная характеристика оптимального фильтра:

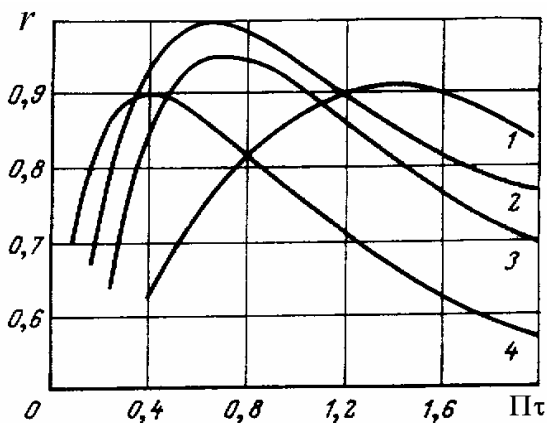
$$\dot{K}_{\text{опт}}(j\omega) = c \frac{S^*(j\omega)e^{-j\omega t_0}}{G_{\text{ш}}(\omega)}$$

Синфазное сложение спектральных составляющих при формировании отклика СФ



$$S_{\text{вых. } n}(t) = \frac{c}{\pi} S^2(\omega_n) \cos(\omega_n(t - t_0)) \Delta\omega$$

Проигрыш квазиоптимального фильтра по сравнению с согласованным



Номер кривой	Форма импульса	Форма АЧХ
1	Прямоугольная	Прямоугольная
2	Гауссова	Гауссова
3	Прямоугольная	Гауссова
4	Прямоугольная	Одиночный контур

$$r = \rho / \rho_{\text{СФ}}, \text{ где } \rho = \frac{s_{\text{вых.мах}}}{\sigma_{\text{ш.вых}}}, \quad \rho_{\text{СФ}} = \sqrt{\frac{2E_c}{G_0}}$$